## 甘草中抑制脂多糖诱导小鼠 RAW 264.7 产生 NO 的活性成分研究

王海强, 刘一宁, 陆晓燕, 王书芳\* 浙江大学药学院药物信息学研究所, 浙江 杭州 310058

摘 要:目的 研究甘草 Glycyrrhizae Radix et Rhizoma 中的抗炎活性成分。方法 采用大孔树脂、ODS、半制备液相等色谱 手段进行分离纯化,并通过 LC-MS、<sup>1</sup>H-NMR、<sup>13</sup>C-NMR 等波谱技术进行结构鉴定。用细菌脂多糖(LPS)诱导小鼠巨噬细胞 RAW264.7炎症模型对分离到的化合物进行抗炎活性筛选。结果 从甘草中分离得到10个化合物,分别鉴定为甘草苷(1)、芹糖甘草苷(2)、异甘草苷(3)、芹糖异甘草苷(4)、sophoraisoflavone A(5)、粗毛甘草素 F(6)、光甘草酮(7)、光甘草定(8)、甘草黄酮醇(9)和粗毛甘草素 D(10)。结论 化合物 1、3、5、6、8 和 9 对 LPS 诱导的 RAW264.7 细胞 NO分泌有一定的抑制作用。其中化合物 5、6 和 9 抑制 LPS 诱导的 RAW 264.7 细胞 NO分泌为首次报道。

关键词: 甘草; 甘草苷; sophoraisoflavone A; 粗毛甘草素 F; 甘草黄酮醇; 抗炎活性

中图分类号: R284.1 文献标志码: A 文章编号: 0253 - 2670(2016)23 - 4155 - 05

DOI: 10.7501/j.issn.0253-2670.2016.23.007

# Study on active constituents from *Glycyrrhizae Radix* et *Rhizoma* against NO production in LPS-induced RAW264.7 macrophages

WANG Hai-qiang, LIU Yi-ning, LU Xiao-yan, WANG Shu-fang

Pharmaceutical Informatics Institute, College of Pharmaceutical Sciences, Zhejiang University, Hangzhou 310058, China

**Abstract: Objective** To study the anti-inflammatory constituents in *Glycyrrhizae Radix* et *Rhizoma*. **Methods** The compounds were isolated and purified by means of macroporous resin, ODS column chromatography, and semi-preparative HPLC. And their structures were identified by LC-MS, <sup>1</sup>H-NMR, and <sup>13</sup>C-NMR. The anti-inflammatory activities of the compounds were evaluated on LPS-induced NO production in RAW 264.7 macrophages. **Results** Their structures were identified as liquiritin (1), liquiritin apioside (2), isoliquiritin (3), isoliquiritin apioside (4), sophoraisoflavone A (5), glyasperin F (6), glabrone (7), glabridin (8), licoflavonol (9), and glyasperin D (10). **Conclusion** Compounds 1, 3, 5, 6, 8, and 9 could inhibit NO production in RAW 264.7 macrophages to some extent. And the anti-inflammatory effects of compounds 5, 6, and 9 are first reported in this work.

Key words: Glycyrrhizae Radix et Rhizoma; liquiritin; sophoraisoflavone A; glyasperin F; licoflavonol; anti-inflammatory activity

甘草 Glycyrrhizae Radix et Rhizoma 是豆科 (Leguminosae) 甘草属 Glycyrrhiza Linn. 某些植物 的干燥根及根茎,广泛分布在我国的华北、东北和西北地区,素有"国老"的尊称[1]。《中国药典》2015 年版中收录的甘草有 3 种,分别是甘草 Glycyrrhiza uralensis Fisch.、胀果甘草 Glycyrrhiza inflata Bat. 和光果甘草 Glycyrrhiza glabra L.。甘草具有补脾益气、清热解毒、祛痰止咳、缓急止痛、调和药效的功效[2],其主要的化学成分是黄酮类和三萜皂苷类等[3],还包括香豆素、生物碱、氨基酸、有机酸和多糖等。现代药理学研究表明,甘草具有抗肿瘤、抗动脉粥样

硬化和抗血栓形成、抗病毒、抗炎、抗菌和抗原虫等药理作用<sup>[2-4]</sup>。目前已有研究证明甘草中的抗炎活性成分主要有甘草酸(glycyrrhizinic acid)、异甘草素(isoliquiritigenin)、异甘草苷(isoliquiritin)、甘草素(liquiritigenin)、甘草查耳酮 A(licochalcone A)、光甘草定(glabridin)和甘草酚(glycyrol)等<sup>[4-10]</sup>。本实验对甘草乙醇提取液中的黄酮类化合物进行分离鉴定,共得到 10 个化合物,分别是甘草苷(liquiritin,1)、芹糖甘草苷(liquiritin apioside,2)、异甘草苷(isoliquiritin,3)、芹糖异甘草苷(isoliquiritin apioside,4)、sophoraisoflavone A(5)、

收稿日期: 2016-05-14

基金项目: 国家"重大新药创制"科技重大专项(2013ZX09402203)

作者简介: 王海强,硕士研究生。E-mail: 18709496498@163.com

\*通信作者 王书芳, 副教授。Tel: (0571)88208426 E-mail: wangsf@zju.edu.cn

粗毛甘草素 F(glyasperin F, 6)、光甘草酮(glabrone, 7)、光甘草定(glabridin, 8)、甘草黄酮醇(licoflavonol, 9)和粗毛甘草素 D(glyasperin D, 10)。并用细菌脂多糖(LPS)诱导小鼠巨噬细胞RAW264.7炎症模型对分离到的化合物进行了抑制NO产生活性筛选,发现化合物 1、3、5、6、8 和 9对 NO 分泌有一定的抑制作用。其中化合物 5、6和 9对抑制 LPS 诱导的 RAW264.7细胞 NO 分泌的结果为首次报道,是甘草潜在的抗炎活性成分。

#### 1 仪器与材料

Agilent 1100 型高效液相色谱仪(美国 Agilent 公司);Bruker Avance III 500 核磁共振仪(瑞士 Bruker 公司);Agilent 6230 TOF 质谱仪(美国 Agilent 公司);Agilent Zorbax SB-C<sub>18</sub> Semi-Preparative 色谱柱(250 mm×9.4 mm, $5 \mu m$ ,美国 Agilent 公司);Milli-Q 水(法国 Millipore 公司);D101 大孔树脂购自天津海光化工有限公司,ODS 填料购自日本 YMC 公司,甲醇(分析纯)购自国药集团化学试剂有限公司,无水乙醇(分析纯)购自上海凌峰化学试剂有限公司;RAW264.7 细胞购于上海细胞库,NO 检测试剂盒购自上海碧云天生物技术有限公司,TECAN F200 荧光及化学发光分析仪购自瑞士 TCAN 公司。

甘草 (新疆, 批号 150501) 购自杭州市本地药店,由浙江大学药学院陈柳蓉副教授鉴定为甘草 *Glycyrrhiza uralensis* Fisch. 的干燥根。

#### 2 提取与分离

取干燥的甘草 5.0 kg,分别用 8 倍量和 6 倍量的 95%乙醇水溶液回流提取 2 次,每次 1 h。合并 2 次提取液,减压浓缩到一定浓度后,置于装有 D101 大孔树脂的色谱柱,分别用水和 40%、95%乙醇洗脱,收集 40%乙醇洗脱液,减压浓缩到适宜浓度后,进行半制备液相色谱分离,乙腈-水(10:90→100:0)梯度洗脱,得到化合物 1(3.9 mg)、2(4.6 mg)、3(3.3 mg)和 4(3.0 mg)。收集 95%乙醇洗脱液,经 ODS 中压柱色谱进一步分离,使用 55%甲醇和纯甲醇溶剂洗脱。收集纯甲醇洗脱液进行减压浓缩后冷冻干燥,得到干燥粉末(28 g)。取 0.43 g 干燥粉末用甲醇溶解,半制备液相色谱分离,乙腈-水(15:85→100:0)梯度洗脱,得到化合物 5(2.8 mg)、6(10.8 mg)、7(1.2 mg)、8(3.0 mg)、9(2.7 mg)和 10(2.1 mg)。

#### 3 结构鉴定

化合物 1: 白色粉末。ESI-MS m/z: 417 [M-H]<sup>-</sup>, 835 [2M-H]<sup>-</sup>。 <sup>1</sup>H-NMR (500 MHz, CD<sub>3</sub>OD)  $\delta$ : 5.46

(1H, dd, J= 12.8, 3.0 Hz, H-2), 3.04 (1H, dd, J= 16.9, 12.8 Hz, H-3a), 2.74 (1H, dd, J= 16.9, 3.0 Hz, H-3b), 7.73 (1H, d, J= 8.7 Hz, H-5), 6.51 (1H, dd, J= 8.7, 2.3 Hz, H-6), 6.37 (1H, d, J= 2.3 Hz, H-8), 7.44 (2H, d, J= 8.6 Hz, H-2′, 6′), 7.15 (2H, d, J= 8.7 Hz, H-3′, 5′), 4.94 (1H, d, J= 7.5 Hz, H-1″), 3.90 (1H, dd, J= 12.1, 2.2 Hz, H-6″a), 3.70 (1H, dd, J= 12.1, 5.6 Hz, H-6″b), 3.37 $\sim$ 3.49 (4H, m, H-2″ $\sim$ 5″); <sup>13</sup>C-NMR (125 MHz, CD<sub>3</sub>OD)  $\delta$ : 80.9 (C-2), 45.1 (C-3), 193.3 (C-4), 115.2 (C-4a), 134.6 (C-5), 112.0 (C-6), 167.0 (C-7), 104.0 (C-8), 165.6 (C-8a), 130.0 (C-1′), 128.9 (C-2′, 6′), 118.0 (C-3′, 5′), 159.4 (C-4′); glucose: 102.4 (C-1″), 75.1 (C-2″), 78.2 (C-3″), 71.5 (C-4″), 78.4 (C-5″), 62.7 (C-6″)。 以上数据与文献报道[111]基本一致,故鉴定化合物 1 为甘草苷。

化合物 2: 白色粉末。ESI-MS m/z: 549 [M-H]-, 1 099  $[2M-H]^{-}$  H-NMR (500 MHz, CD<sub>3</sub>OD)  $\delta$ : 5.45 (1H, dd, J = 13.1, 3.1 Hz, H-2), 3.04 (1H, dd, J = 16.9,12.8 Hz, H-3a), 2.74 (1H, dd, J = 17.0, 2.7 Hz, H-3b), 7.73 (1H, d, J = 8.7 Hz, H-5), 6.51 (1H, dd, J = 8.7, 2.3 Hz, H-6), 6.37 (1H, d, J = 2.2 Hz, H-8), 7.44 (2H, d, J =8.4 Hz, H-2', 6'), 7.12 (2H, d, J = 8.7 Hz, H-3', 5'), 5.00 (1H, d, J = 7.5 Hz, H-1"), 3.89 (1H, dd, J = 12.1, 2.2)Hz, H-6"a), 3.69 (1H, dd, J = 12.0, 5.5 Hz, H-6"b),  $3.47 \sim 3.67$  (4H, m, H-2" $\sim 5$ "), 5.47 (1H, d, J = 1.5 Hz, H-1"'), 3.95 (1H, d, J = 1.5 Hz, H-2"'), 3.55 (2H, d, J =2.3 Hz, H-4"'), 4.06 (1H, d, J = 9.6 Hz, H-5"'a), 3.80 (1H, d, J = 9.5 Hz, H-5"b); <sup>13</sup>C-NMR (125 MHz, CD<sub>3</sub>OD) δ: 80.9 (C-2), 45.1 (C-3), 193.3 (C-4), 115.2 (C-4a), 130.0 (C-5), 112.0 (C-6), 166.9 (C-7), 104.0 (C-8), 165.6 (C-8a), 134.5 (C-1'), 129.0 (C-2', 6'), 117.9 (C-3', 5'), 159.2 (C-4'); glucose: 101.0 (C-1"), 78.2 (C-2"), 78.2 (C-3"), 71.6 (C-4"), 78.8 (C-5"), 62.7 (C-6"); apiose: 111.0 (C-1"), 78.8 (C-2"), 80.9 (C-3"), 75.6 (C-4""), 66.2 (C-5"")。以上数据与化合物 1 非常 相似,仅比化合物 1 多出 1 组芹糖信号,参考文献 报道[12],鉴定化合物2为芹糖甘草苷。

化合物 **3:** 黄色粉末。ESI-MS m/z: 417 [M—H]<sup>-</sup>, 835 [2M—H]<sup>-</sup>。 <sup>1</sup>H-NMR (500 MHz, CD<sub>3</sub>OD)  $\delta$ : 7.69 (1H, d, J=15.3 Hz, H- $\alpha$ ), 7.81 (1H, d, J=15.3 Hz, H- $\beta$ ), 7.72 (2H, d, J=8.6 Hz, H-2,  $\delta$ ), 7.16 (2H, d, J=8.7 Hz, H-3,  $\delta$ ), 6.30 (1H, d, J=2.4 Hz, H-3'), 6.42 (1H, dd, J=8.9, 2.4 Hz, H-5'), 7.99 (1H, d, J=8.9

Hz, H-6'), 5.00 (1H, d, J = 7.6 Hz, H-1"), 3.91 (1H, dd, J = 12.2, 2.3 Hz, H-6"a), 3.71 (1H, dd, J = 12.1, 5.7 Hz, H-6"b); 3.38  $\sim$  3.51 (4H, m, H-2"  $\sim$  5"); <sup>13</sup>C-NMR (125 MHz, CD<sub>3</sub>OD)  $\delta$ : 120.3 (C- $\alpha$ ), 144.9 (C- $\beta$ ), 193.5 (C=O), 130.7 (C-1), 131.5 (C-2,  $\delta$ ), 118.2 (C-3,  $\delta$ ), 161.2 (C-4), 114.8 (C-1'), 166.8 (C-2'), 104.0 (C-3'), 167.7 (C-4'), 109.4 (C-5'), 133.6 (C- $\delta$ ); glucose: 102.0 (C-1"), 75.0 (C-2"), 78.1 (C-3"), 71.5 (C-4"), 78.4 (C- $\delta$ "), 62.7 (C- $\delta$ ")。以上数据与文献报道[13]基本一致,故鉴定化合物 3 为异甘草苷。

化合物 4: 黄色粉末。ESI-MS m/z: 549 [M-H]-, 1 099  $[2M-H]^-$ . <sup>1</sup>H-NMR (500 MHz, CD<sub>3</sub>OD)  $\delta$ : 7.70 (1H, d, J = 15.1 Hz, H- $\alpha$ ), 7.81 (1H, d, J = 15.3Hz, H- $\beta$ ), 7.72 (2H, d, J = 8.7 Hz, H-2, 6), 7.14 (2H, d, J = 8.8 Hz, H-3, 5), 6.30 (1H, d, <math>J = 2.4 Hz, H-3'),6.43 (1H, dd, J = 8.9, 2.4 Hz, H-5'), 7.99 (1H, d, J =8.9 Hz, H-6'), 5.06 (1H, d, J = 7.5 Hz, H-1"), 3.91 (1H, dd, J = 12.2, 2.3 Hz, H-6"a), 3.70 (1H, dd, J =12.2, 5.8 Hz, H-6"b);  $3.37 \sim 3.69$  (4H, m, H-2" $\sim 5$ "), 5.47 (1H, d, J = 1.6 Hz, H-1"), 3.95 (1H, d, J = 1.6Hz, H-2"'), 3.54 (2H, d, J = 1.4 Hz, H-4"'), 4.06 (1H, d, J = 9.6 Hz, H-5"a), 3.80 (1H, d, J = 9.6 Hz, H-5"b);  ${}^{13}$ C-NMR (125 MHz, CD<sub>3</sub>OD)  $\delta$ : 120.3  $(C-\alpha)$ , 145.0  $(C-\beta)$ , 193.6 (C=O), 130.7 (C-1), 131.6 (C-2, 6), 118.0 (C-3, 5), 161.1 (C-4), 114.9 (C-1'), 166.7 (C-2'), 104.0 (C-3'), 167.7 (C-4'), 111.0 (C-5'), 133.6 (C-6'); glucose: 100.7 (C-1"), 78.2 (C-2"), 78.3 (C-3"), 71.5 (C-4"), 78.8 (C-5"), 62.6 (C-6"); apiose: 109.2 (C-1"), 80.9 (C-2"), 78.7 (C-3"), 75.6 (C-4"), 66.2 (C-5")。以上数据与化合物 3 非常相似,仅比 化合物 3 多出 1 组芹糖信号,参考文献报道[14],鉴 定化合物 4 为芹糖异甘草苷。

化合物 **5**: 淡黄色粉末。TOF-MS m/z: 351.090 8 [M-H] $^-$ 。  $^1$ H-NMR (500 MHz, CD<sub>3</sub>OD)  $\delta$ : 7.93 (1H, s, H-2), 6.23 (1H, d, J = 2.1 Hz, H-6), 6.35 (1H, d, J = 2.1 Hz, H-8), 6.40 (1H, d, J = 8.4 Hz, H-5'), 6.95 (1H, d, J = 8.4 Hz, H-6'), 6.68 (1H, d, J = 10.0 Hz, H-4"), 5.60 (1H, d, J = 10.0 Hz, H-3"), 1.36 (6H, s, 2 $\times$ CH<sub>3</sub>);  $^{13}$ C-NMR (125 MHz, CD<sub>3</sub>OD)  $\delta$ : 156.5 (C-2), 122.1 (C-3), 182.5 (C-4), 106.4 (C-4a), 163.9 (C-5), 100.3 (C-6), 166.1 (C-7), 95.0 (C-8), 159.9 (C-8a), 111.5 (C-1'), 153.3 (C-2'), 111.1 (C-3'), 155.1 (C-4'), 108.5 (C-5'), 132.4 (C-6'), 118.3 (C-4"), 129.7 (C-3"), 77.5 (C-2"), 28.2

(5''/6''-CH<sub>3</sub>), 27.9 (6''/5''-CH<sub>3</sub>)。以上数据与文献报道<sup>[15]</sup> 基本一致,故鉴定化合物 **5** 为 sophoraisoflavone A。

化合物 6: 黄色粉末。TOF-MS m/z: 353.101 7 [M-H] $^-$ 。  $^1$ H-NMR (500 MHz, CD $_3$ OD)  $\delta$ : 4.58 (1H, dd, J=11.1, 10.0 Hz, H-2), 4.43 (1H, dd, J=11.0, 5.5 Hz, H-2), 4.19 (1H, dd, J=10.0, 5.5 Hz, H-3), 5.89 (1H, d, J=2.2 Hz, H-6), 5.89 (1H, d, J=2.2 Hz, H-8), 6.31 (1H, d, J=8.3 Hz, H-5'), 6.87 (1H, d, J=8.3 Hz, H-6'), 6.65 (1H, d, J=10.0 Hz, H-4"), 5.65 (1H, d, J=9.9 Hz, H-3"), 1.38 (6H, s,  $2\times$ CH $_3$ );  $^{13}$ C-NMR (125 MHz, CD $_3$ OD)  $\delta$ : 71.6 (C-2), 48.3 (C-3), 199.3 (C-4), 103.7 (C-4a), 166.0 (C-5), 97.3 (C-6), 168.5 (C-7), 96.2 (C-8), 165.3 (C-8a), 117.1 (C-1'), 152.3 (C-2'), 112.5 (C-3'), 154.9 (C-4'), 110.0 (C-5'), 130.8 (C-6'), 118.1 (C-4"), 130.6 (C-3"), 76.6 (C-2"), 28.1 (5"/6"-CH $_3$ ), 28.0 (6"/5"-CH $_3$ )。以上数据与文献报道[16]基本一致,故鉴定化合物 6 为粗毛甘草素 F。

化合物 7: 棕黄色粉末。TOF-MS m/z: 335.104 1 [M—H]<sup>-</sup>。 <sup>1</sup>H-NMR (500 MHz, CD<sub>3</sub>OD)  $\delta$ : 8.21 (1H, s, H-2), 8.11 (1H, d, J = 8.9 Hz, H-5), 6.99 (1H, dd, J = 8.5, 2.1 Hz, H-6), 6.90 (1H, d, J = 2.2 Hz, H-8), 6.39 (1H, d, J = 8.4 Hz, H-5'), 6.99 (1H, d, J = 8.4 Hz, H-6'), 6.76 (1H, d, J = 10.0 Hz, H-1"), 5.65 (1H, d, J = 10.0 Hz, H-2"), 1.41 (6H, s, 2×CH<sub>3</sub>); <sup>13</sup>C-NMR (125 MHz, CD<sub>3</sub>OD)  $\delta$ : 157.1 (C-2), 124.9 (C-3), 179.8 (C-4), 117.5 (C-4a), 128.8 (C-5), 117.3 (C-6), 165.6 (C-7), 103.3 (C-8), 160.0 (C-8a), 114.3 (C-1'), 153.3 (C-6'), 118.6 (C-4"), 130.2 (C-3"), 77.1 (C-5"), 131.5 (C-6'), 118.6 (C-4"), 130.2 (C-3"), 77.1 (C-2"), 28.2 (2×CH<sub>3</sub>)。以上数据与文献报道<sup>[17]</sup>基本一致,故鉴定化合物 7 为光甘草酮。

化合物 8: 黄色粉末。ESI-MS m/z: 323 [M-H] $^-$ 。 <sup>1</sup>H-NMR (500 MHz, CD<sub>3</sub>OD)  $\delta$ : 4.30 (1H, ddd, J= 10.2, 3.6, 2.1 Hz, H-2), 3.96 (1H, t, J = 10.2 Hz, H-2), 3.42 (1H, m, H-3), 2.94 (1H, dd, J = 15.6, 11.2 Hz, H-4), 2.76 (1H, ddd, J = 15.6, 5.2, 2.0 Hz, H-4), 6.80 (1H, d, J = 8.2 Hz, H-5), 6.27 (1H, d, J = 8.3 Hz, H-6), 6.32 (1H, d, J = 2.4 Hz, H-3'), 6.26 (1H, dd, J = 8.3, 2.9 Hz, H-5'), 6.88 (1H, d, J = 8.4 Hz, H-6'), 6.61 (1H, d, J = 9.9 Hz, H-4"), 5.57 (1H, d, J = 9.9 Hz, H-3"), 1.37 (6H, s, 2×CH<sub>3</sub>); 13C-NMR (125 MHz, CD<sub>3</sub>OD)  $\delta$ : 71.6 (C-2), 33.2 (C-3), 31.9 (C-4), 116.4 (C-4a), 131.6 (C-5), 109.6 (C-6), 153.2 (C-7), 111.1 (C-8), 151.2 (C-8a), 120.2 (C-1'), 157.4

(C-2'), 103.8 (C-3'), 158.2 (C-4'), 107.9 (C-5'), 129.9 (C-6'), 118.3 (C-4"), 130.4 (C-3"), 76.7 (C-2"), 28.1 (5"/6"-CH<sub>3</sub>), 28.0 (6"/5"-CH<sub>3</sub>)。以上数据与文献报道<sup>[18]</sup>基本一致,故鉴定化合物 **8** 为光甘草定。

化合物 9: 黄色粉末。TOF-MS m/z: 353.106 9 [M—H]"。 <sup>1</sup>H-NMR (500 MHz, CD<sub>3</sub>OD)  $\delta$ : 6.43 (1H, s, H-8), 8.08 (2H, d, J = 8.4 Hz, H-2',  $\delta$ '), 6.90 (2H, d, J = 8.5 Hz, H-3',  $\delta$ '), 3.33 (2H, m, H-1",与氘代试剂信号部分重合), 5.24 (1H, t, J = 7.3 Hz, H-2"), 1.79 (3H, s, 4"-CH<sub>3</sub>), 1.67 (3H, s,  $\delta$ "-CH<sub>3</sub>); <sup>13</sup>C-NMR (125 MHz, CD<sub>3</sub>OD)  $\delta$ : 147.9 (C-2), 137.2 (C-3), 177.5 (C-4), 104.5 (C-4a), 160.6 (C-5), 112.4 (C-6), 163.6 (C-7), 93.8 (C-8), 156.4 (C-8a), 124.1 (C-1'), 130.8 (C-2',  $\delta$ '), 116.5 (C-3',  $\delta$ '), 159.3 (C-4'), 22.4 (C-1"), 123.7 (C-2"), 132.1 (C-3"), 26.1 ( $\delta$ "-CH<sub>3</sub>), 18.0 ( $\delta$ "-CH<sub>3</sub>)。以上数据与文献报道<sup>[15]</sup>基本一致,故鉴定化合物 9 为甘草黄酮醇。

化合物 **10**: 棕色粉末。TOF-MS m/z: 369.1805 [M-H] $^-$ 。  $^1$ H-NMR (500 MHz, CD<sub>3</sub>OD)  $\delta$ : 4.21 (1H, ddd, J=10.3, 3.5, 1.9 Hz, H-2), 3.96 (1H, t, J=10.1 Hz, H-2), 3.35 (1H, m, H-3), 2.89 (1H, ddd, J=16.0, 5.5, 1.9 Hz, H-4), 2.80 (1H, dd, J=16.0, 10.7 Hz, H-4), 3.69 (3H, s, 5-OCH<sub>3</sub>), 3.74 (3H, s, 7-OCH<sub>3</sub>), 6.22 (1H, s, H-8), 6.32 (1H, d, J=2.5 Hz, H-3'), 6.27 (1H, dd, J=8.3, 2.5 Hz, H-5'), 6.89 (1H, d, J=8.3 Hz, H-6'), 3.24 (1H, m, H-1"), 5.14 (1H, t, J=7.1 Hz, H-2"), 1.75 (3H, s, 4"-CH<sub>3</sub>), 1.65 (3H, s, 5"-CH<sub>3</sub>);  $^{13}$ C-NMR (125 MHz, CD<sub>3</sub>OD)  $\delta$ : 71.2 (C-2), 32.9 (C-3), 26.9 (C-4), 109.7 (C-4a), 158.4 (C-5), 61.2

(5-OCH<sub>3</sub>), 116.4 (C-6), 158.7 (C-7), 56.2 (7-OCH<sub>3</sub>), 96.8 (C-8), 155.3 (C-8a), 120.4 (C-1'), 157.4 (C-2'), 103.8 (C-3'), 158.2 (C-4'), 107.8 (C-5'), 128.9 (C-6'), 23.6 (C-1"), 125.6 (C-2"), 131.1 (C-3"), 26.0 (5"-CH<sub>3</sub>), 18.0 (4"-CH<sub>3</sub>)。以上数据与文献报道<sup>[19]</sup>基本一致,故鉴定化合物 **10** 为粗毛甘草素 **D**。

### 4 抗炎活性评价

采用细菌脂多糖(LPS)诱导小鼠巨噬细胞 RAW264.7 炎症模型评价化合物抑制NO产生的活性。将 RAW264.7 细胞接种于 96 孔板,用 MTT 法测定各化合物的细胞毒性。确定无毒浓度后,以吲哚美辛(50.0 μmol/L)作阳性对照,用 LPS(200 ng/mL)诱导小鼠巨噬细胞 RAW264.7 模型,以 NO 抑制率作抗炎活性指标,对各单体化合物进行抗炎活性初筛(n=3),对有抗炎活性的化合物做进一步的量效考察。

实验结果显示,异甘草苷(3)、sophoraisoflavone A (5)、粗毛甘草素 F (6)、光甘草定 (8) 和甘草 黄酮醇 (9) 有较强的抑制 NO 产生活性,而甘草苷 (1) 在 50.0 μmol/L 表现出较弱的 NO 抑制作用 (抑制率为 27%),芹糖甘草苷 (2, 200.0 μmol/L)、芹糖异甘草苷 (4, 200.0 μmol/L)、光甘草酮 (7, 50.0 μmol/L) 和粗毛甘草素 D (10, 12.5 μmol/L) 未显示有抑制活性。其中对甘草苷、芹糖甘草苷、异甘草苷和芹糖异甘草苷的实验结果分析可知,化合物结构中增加糖单元 (芹糖),会降低对 NO 的抑制作用。对具有抑制 NO 产生活性的化合物 3、5、6、8、9 进行量效关系考察,根据毒性实验结果确定各化合物浓度梯度,结果见图 1,其半数抑制浓度 (IC50)

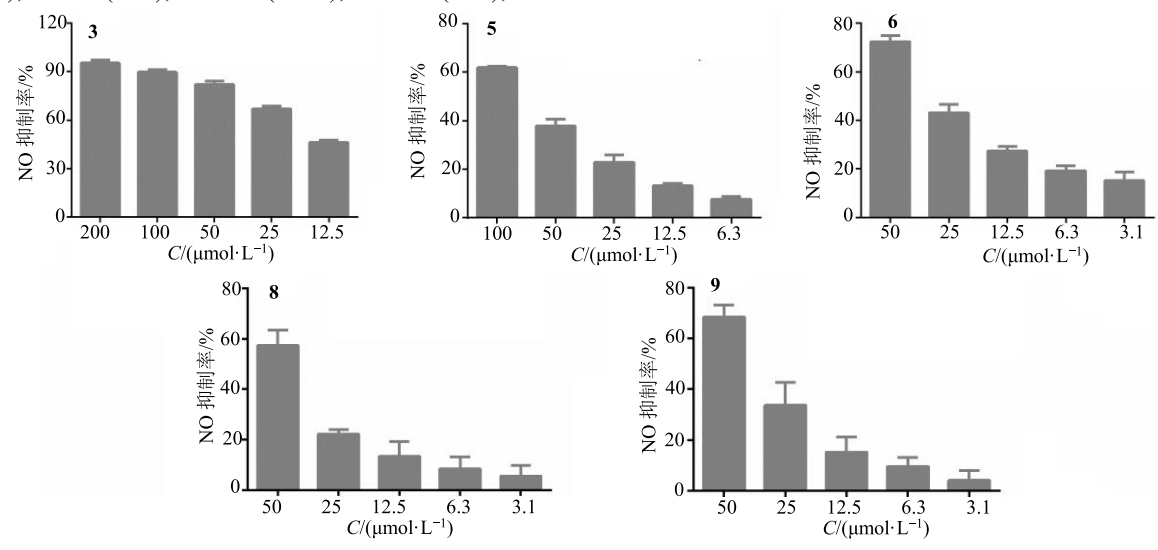


图 1 化合物 3、6、8、9 抑制 NO 产生活性的量效结果

Fig. 1 Dose-effect result of inhibitory effect of compounds 3, 5, 6, 8, and 9 on NO production

值依次为(14.0±1.8)、(70.3±4.0)、(26.5±2.0)、(22.4±2.0)、(17.0±2.1) $\mu$ mol/L。与阳性对照吲哚美辛  $IC_{50}$ (31.6±2.0) $\mu$ mol/L<sup>[20]</sup>相比,化合物 3、6、8、9 有更好的抑制 NO 产生活性。

#### 参考文献

- [1] 傅克治, 傅密宁. 甘草用途多 [J]. 植物杂志, 1987(3): 12-13.
- [2] 杨 莉, 陈海霞, 高文远, 等. 甘草抗肿瘤活性成分的 研究 [J]. 天然产物研究与开发, 2009, 21(3): 438-440.
- [3] Zhang Q Y, Ye M. Chemical analysis of the Chinese herbal medicine Gan-Cao (*Licorice*) [J]. *J Chromatogr A*, 2009, 1216(11): 1954-1969.
- [4] 张明发, 沈雅琴. 甘草及其活性成分抗炎与抗炎机制的研究进展 [J]. 现代药物与临床, 2011, 26(4): 261-268.
- [5] Fujisawa Y, Sakamoto M, Matsushita M, *et al.* Glycyrrhizin inhibits the lytic pathway of complement possible mechanism of its anti-inflammatory effect on liver cells in viral hepatitis [J]. *Microbiol Immunol*, 2000, 44(9): 799-804.
- [6] Kolbe L, Immeyer J, Batzer J, et al. Anti-inflammatory efficacy of licochalcone A: Correlation of clinical potency and in vitro effects [J]. Arch Dermatol Res, 2006, 298(1): 23-30.
- [7] Peng F, Du Q H, Peng C, *et al.* A review: The pharmacology of isoliquiritigenin [J]. *Phytother Res*, 2015, 29(7): 969-977.
- [8] Kim J Y, Park S J, Yun K J, *et al.* Isoliquiritigenin isolated from the roots of *Glycyrrhiza uralensis* inhibits LPS-induced NOS and COX-2 expression via the attenuation of NF-kappa B in RAW 264.7 macrophages [J]. *Eur J Pharmacol*, 2008, 584(1): 175-184.
- [9] Yu J Y, Ha J Y, Kim K M, et al. Anti-inflammatory activities of licorice extract and its active compounds, glycyrrhizic acid, liquiritin and liquiritigenin, in BV2 cells and mice liver [J]. Molecules, 2015, 20(7): 13041-13054.
- [10] Shin E M, Zhou H Y, Guo L Y, *et al.* Anti-inflammatory effects of glycyrol isolated from *Glycyrrhiza uralensis* in LPS-stimulated RAW264. 7 macrophages [J]. *Int*

- Immunopharmacol, 2008, 8(11): 1524-1532.
- [11] 蒋晓文,白俊鹏,田 星,等. 牛蒡根中黄酮苷类化学成分及其抗氧化活性构效关系的研究 [J]. 中草药,2016,47(5):726-731.
- [12] Xu J, Luo J, Kong L. Simultaneous separation of triterpenoid saponins and flavonoid glycosides from the roots of *Glycyrrhiza uralensis* Fisch. by pH-zone-refining counter-current chromatography [J]. *J Sep Sci*, 2013, 36(19): 3295-3301.
- [13] Fu B, Li H, Wang X, et al. Isolation and identification of flavonoids in licorice and a study of their inhibitory effects on tyrosinase [J]. J Agric Food Chem, 2005, 53(19): 7408-7414.
- [14] Kitagawa I, Hori K, Uchida E, et al. Saponin and sapogenol L. on the constituents of the roots of Glycyrrhiza uralensis Fischer from Xinjiang, China. Chemical structures of licorice-saponin L3 and isoliquiritin apioside [J]. Chem Pharm Bull, 1993, 41(9): 1567-1572.
- [15] Shirataki Y, Yokoe I, Noguchi M, *et al.* Studies on the constituents of Sophora species XXII. Constituents of the root of *Sophora moorcroftiana* Benth ex Baker [J]. *Chem Pharm Bull*, 1988, 36(6): 2220-2225.
- [16] Mckee T C, Bokesch H R, Mccormick J L, et al. Isolation and characterization of new anti-HIV and cytotoxic leads from plants, marine, and microbial organisms [J]. J Nat Prod, 1997, 60(5): 431-438.
- [17] Kinoshita T, Tamura Y, Mizutani K. Isolation and synthesis of two new 3-arylcoumarin derivatives from the root of *Glycyrrhiza glabra* (*Licorice*), and structure revision of an antioxidant isoflavonoid glabrene [J]. *Nat Prod Lett*, 1997, 9(4): 289-296.
- [18] Jirawattanapong W, Saifah E, Patarapanich C. Synthesis of glabridin derivatives as tyrosinase inhibitors [J]. *Arch Pharm Res*, 2009, 32(5): 647-654.
- [19] 王 青, 苗文娟, 向 诚, 等. 乌拉尔甘草中黄酮类化 学成分的研究 [J]. 中草药, 2014, 45(1): 31-36.
- [20] Wang S F, Xu Y M, Jiang W, et al. Isolation and identification of constituents with activity of inhibiting nitric oxide production in Raw 264.7 macrophages from Gentiana triflora [J]. Planta Med, 2013, 79(8): 680-686.